

УДК 536.2+53:004

Оценка погрешности термопарных измерений профиля температуры в твердых веществах при их пиролизе*

А.Д. Рычков^{1,3}, В.Е. Зарко², В.Д. Лисейкин¹, А.В. Кофанов³

¹*Институт вычислительных технологий СО РАН, Новосибирск*

²*Институт химической кинетики и горения СО РАН, Новосибирск*

³*Новосибирский государственный университет*

E-mail: rych@ict.nsc.ru

Рассматривается задача о взаимодействии термопары, впрессованной в твердое вещество, подвергающееся пиролизу внешним источником тепла, с тепловой волной, распространяющейся внутрь вещества от поверхности его пиролиза. Результаты численного моделирования показали, что из-за большой разницы в значениях коэффициентов теплопроводности топлива и материала вещества происходит сток тепла по проволочкам термопары вглубь вещества, что значительно изменяет температуру спая, искажая тем самым показания термопары.

Ключевые слова: численное моделирование, теплопередача в твердых телах, конечно-разностные методы, измерение температуры с помощью термопар.

ВВЕДЕНИЕ

Подповерхностные термопарные датчики находят широкое применение в различных технических устройствах для измерения тепловых потоков в сложных теплонапряженных конструкциях [1], а также в различных теплообменных устройствах [2] и при горении унитарных твердых топлив [3–5]. При этом возникают проблемы оценки достоверности величин, определяемых на основе показаний термопар. Источником погрешностей служит различие теплофизических свойств материала термопары и исследуемого вещества. При наличии больших градиентов температуры в нагреваемом веществе происходит, как правило, увеличенный отток тепла от поверхности, поскольку теплопроводность металлических термопар оказывается более высокой, чем теплопроводность вещества исследуемого объекта. Дополнительные сложности в эти проблемы привносит переменность расстояния до поверхности теплообмена, обусловленная пиролизом (уносом) вещества. В осесимметричной постановке подобная задача рассматривалась ранее в работе [6].

* Работа выполнена при финансовой поддержке РФФИ (грант № 09-01-12023офи), Президиума РАН (проект № 1.4), Междисциплинарного интеграционного проекта фундаментальных исследований СО РАН № 26, Интеграционного проекта СО РАН совместно со сторонними научными организациями № 94.

МАТЕМАТИЧЕСКАЯ МОДЕЛЬ ВЗАИМОДЕЙСТВИЯ ТЕПЛОВОЙ ВОЛНЫ С ТЕРМОПАРОЙ

Рассмотрим процесс измерения профиля температуры в конденсированном веществе, пиролизирующемся под воздействием внешнего теплового источника. Сформулируем трехмерную нестационарную задачу о теплообмене между твердым веществом и запрессованной в него термопарой (рис. 1) в предположении, что скорость пироллиза вещества и температура его поверхности постоянны. Головка термопары представляет собой сферу радиуса R_m , которую под некоторым углом 2α пересекают два цилиндрических проводника радиусами r_m каждый. В этом случае имеются две плоскости симметрии, что позволяет уменьшить размер расчетной области до четверти от полной. Вид области решения показан на рис. 1, а. Значения угла α изменялись от 0 до 60° . Полагалось, что при $\alpha = 0$ проволочки расположены настолько близко друг к другу, что их можно заменить одной проволочкой с удвоенной площадью сечения. В декартовой системе координат эта область представляет собой параллелепипед $D\{x_s(y, z, t) \leq x \leq x_{\max}, 0 \leq y \leq y_{\max}, 0 \leq z \leq z_{\max}, t \geq 0\}$, внешние границы которого выбираются на достаточно большом расстоянии от головки термопары так, чтобы процессы теплообмена между веществом и термопарой не влияли на распределение температуры на них. Левая граница области является плоской поверхностью пироллиза, которая перемещается вглубь вещества с постоянной скоростью r_b , так что ее положение определяется соотношением $x_s(y, z, t) = x_s(y, z, 0) + r_b t$. Начало координат находится в геометрическом центре шаровой головки термопары. Уравнение теплопроводности в области D записывается в дивергентной форме

$$\frac{\partial(\rho CT)}{\partial t} - \left(\frac{\partial}{\partial x} \left(\lambda \frac{\partial T}{\partial x} \right) + \frac{\partial}{\partial y} \left(\lambda \frac{\partial T}{\partial y} \right) + \frac{\partial}{\partial z} \left(\lambda \frac{\partial T}{\partial z} \right) \right) = 0, \quad (1)$$

где C , ρ , λ — удельная теплоемкость, плотность и коэффициент теплопроводности.

Эти величины полагаются постоянными, но различными в областях, занятых веществом и термопарой, на границах между которыми они меняются скачком.

Запись уравнения (1) в дивергентной форме обеспечивает правильный расчет тепловых потоков в случае разрывных значений теплофизических параметров.

Для уравнения (1) задавались следующие граничные условия:

$$T(x_s, y, z, t) = T_s;$$

$$\left. \frac{\partial T(x, y, z, t)}{\partial x} \right|_{x=x_{\max}} = 0,$$

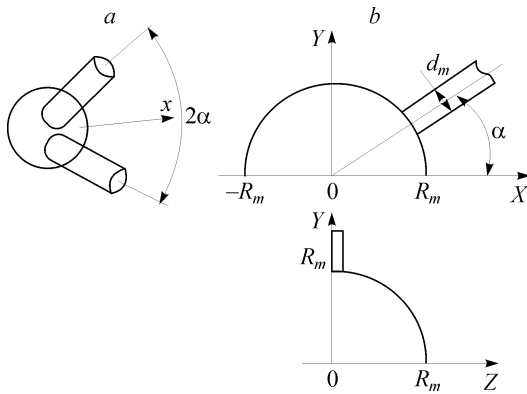


Рис. 1. Конструктивная схема термопары (а) и область решения (б).

$$\left. \frac{\partial T(x, y, z, t)}{\partial y} \right|_{y=y_{\max}} = \left. \frac{\partial T(x, y, z, t)}{\partial y} \right|_{y=0} = 0,$$

$$\left. \frac{\partial T(x, y, z, t)}{\partial z} \right|_{z=z_{\max}} = \left. \frac{\partial T(x, y, z, t)}{\partial z} \right|_{z=0} = 0.$$

Начальные условия задавались из известного распределения Михельсона, описывающего распределение температуры в плоской тепловой волне, движущейся вдоль оси ОХ с постоянной скоростью r_b :

$$T(x, y, z, 0) = T_0 + (T_s - T_0) \exp(-r_b(x - x_s(0))C_p \rho_p / \lambda_p),$$

где индекс p относится к параметрам вещества, T_s , T_0 — температура пиролиза и начальная температура, которые полагались постоянными. Начальное положение левой границы $x = x_s(0)$ выбирается достаточно далеко от вершины головки термопары так, чтобы распределение температуры в термопаре стало близко к T_0 .

ЧИСЛЕННЫЙ МЕТОД РЕШЕНИЯ

Для численного решения уравнения (1) применялся метод конечных объемов, позволяющий проводить расчеты на произвольной конечно-разностной сетке. Уравнение записывалось в интегральной форме для произвольного фиксированного объема V :

$$\int_V \frac{\partial}{\partial t} Q \, dV + \oint_S \vec{F} \, d\vec{S} = 0, \quad (2)$$

где $Q = C\rho T$, $\vec{F} = -\lambda \nabla T$ — поток тепла через ориентированный по нормали элемент $d\vec{S}$ поверхности S , ограничивающей объем V . В области D построим произвольную разностную сетку, каждая ячейка которой топологически эквивалентна параллелепипеду. Обозначим объем такой ячейки через $V_{i,j,k}$ и среднее значение величины Q на n слое по времени, отнесенное к центру такой ячейки, через $Q_{i,j,k}^n$. Тогда уравнение (2) аппроксимируется следующим разностным соотношением со вторым порядком точности по времени и по пространству:

$$\frac{4Q_{i,j,k}^{n+1} - 3Q_{i,j,k}^n + Q_{i,j,k}^{n-1}}{2\tau} V_{i,j,k} +$$

$$+ \left[(\vec{F} \cdot \vec{S})_{i+1/2}^{n+1} - (\vec{F} \cdot \vec{S})_{i-1/2}^{n+1} + (\vec{F} \cdot \vec{S})_{j+1/2}^{n+1} - (\vec{F} \cdot \vec{S})_{j-1/2}^{n+1} + (\vec{F} \cdot \vec{S})_{k+1/2}^{n+1} - (\vec{F} \cdot \vec{S})_{k-1/2}^{n+1} \right] = 0, \quad (3)$$

где τ — шаг по времени. Скалярные произведения в квадратных скобках являются потоками тепла через соответствующие площади граней объема $V_{i,j,k}$, умноженными на единичные нормали к ним. Способ их вычисления описан в работе [7]. Полученная разностная схема является неявной и для ее решения можно применить следующую итерационную схему, основанную на введении псевдовремени на каждом временном слое по времени:

$$\left[\frac{Q_{i,j,k}^{n+1,s+1} - Q_{i,j,k}^{n+1,s}}{\tau_1} + \frac{4Q_{i,j,k}^{n+1,s} - 3Q_{i,j,k}^n + Q_{i,j,k}^{n-1}}{2\tau} \right] V_{i,j,k} +$$

$$+ \left[(\vec{F} \cdot \vec{S})_{i+1/2}^{n+1,s} - (\vec{F} \cdot \vec{S})_{i-1/2}^{n+1,s} + (\vec{F} \cdot \vec{S})_{j+1/2}^{n+1,s} - (\vec{F} \cdot \vec{S})_{j-1/2}^{n+1,s} + (\vec{F} \cdot \vec{S})_{k+1/2}^{n+1,s} - (\vec{F} \cdot \vec{S})_{k-1/2}^{n+1,s} \right] = 0, \quad (4)$$

где τ_1 — шаг по псевдовремени, s — номер итерации по псевдовремени.

Для реализации (4) используется схема расщепления по пространственным переменным [8] (нижние индексы частично опущены):

$$\begin{aligned} \frac{\delta^{s+1/3} - \delta^s}{\tau_1} V_{i,j,k} - \Lambda_1 \delta^{s+1/3} &= \left[\frac{4Q_{i,j,k}^{n+1,s} - 3Q_{i,j,k}^n + Q_{i,j,k}^{n-1}}{2\tau} \right] V_{i,j,k} + \\ + \left[(\vec{F} \cdot \vec{S})_{i+1/2}^{n+1,s} - (\vec{F} \cdot \vec{S})_{i-1/2}^{n+1,s} + (\vec{F} \cdot \vec{S})_{j+1/2}^{n+1,s} - (\vec{F} \cdot \vec{S})_{j-1/2}^{n+1,s} + (\vec{F} \cdot \vec{S})_{k+1/2}^{n+1,s} - (\vec{F} \cdot \vec{S})_{k-1/2}^{n+1,s} \right], \end{aligned} \quad (5)$$

$$\frac{\delta^{s+2/3} - \delta^{s+1/3}}{\tau_1} V_{i,j,k} + \Lambda_2 \delta^{s+2/3} = 0,$$

$$\frac{\delta^{s+1} - \delta^{s+2/3}}{\tau_1} V_{i,j,k} + \Lambda_3 \delta^{s+1} = 0, \quad Q^{n+1,s+1} = Q^{n+1,s} + \delta^{s+1}.$$

Здесь δ^s — поправки к величине Q , Λ_1 , Λ_2 , Λ_3 — разностные операторы, учитывающие только вторые производные по соответствующим направлениям. После сходимости итераций по псевдовремени $\delta^s = 0$ и имеет место точная аппроксимация полного исходного уравнения. Граничные условия для δ^s задаются следующим образом. На левой границе $\delta^s = 0$, на остальных — “мягкие” граничные условия. Для вычисления величины Q на первом шаге по времени ($n = 0$) в схеме (5) использовалась аппроксимация по времени первого порядка точности, поскольку значения сеточной функции $Q_{i,j,k}^{-1}$ неизвестны.

Для построения криволинейной пространственной разностной сетки использовался метод, основанный на численном решении (схема стабилизирующей поправки) обращенных двумерных уравнений Бельтрами или диффузии относительно управляющей метрики [9]. Достоинство настоящего метода заключается в возможности построения адаптивных разностных сеток с заданными свойствами. В частности, используя управляющую метрику, можно контролировать сгущение узлов сетки. С помощью данной технологии в области D строилась криволинейная блочная разностная сетка, сгущающаяся к границам области, занятой термопарой и являющейся квазиортогональной вблизи границ раздела между веществом и термопарой. Такая сетка обеспечивала приемлемую точность расчетов при не слишком большом числе ее узлов.

В области между левой границей области и головкой термопары строилась неравномерная прямоугольная разностная сетка, что позволяло использовать метод “улавливания” поверхности пиролиза в узел сетки. Суть его в том, что шаг по времени выбирался так, чтобы на каждом последующем шаге по времени положение подвижной левой границы $x_s(t + \Delta t) = x_s(t) + r_b \Delta t$ совпадало с ближайшей к ней справа вертикальной линией разностной сетки. Тогда перестройки сетки в процессе решения не требуется. Положения верхней и правой границ области выбирались таким образом, чтобы они не оказывали существенного влияния на распределение температуры в области, занятой термопарой. Разностная сетка не согласовывалась с границами области, занимаемой термопарой. Поэтому значения коэффициента теплопроводности на границах ячеек вычислялись как средние геометрические между его значениями в центрах соседних ячеек. Значения величины $C \cdot \rho$ вычислялись в центрах ячеек с учетом доли значений этих величин для термопары и вещества в объеме ячейки.

Точность численного решения оценивалась расчетами на последовательно сгущающихся сетках. В результате установлено, что разностная сетка с числом узлов в области D $110 \times 110 \times 100$ по осям координат обеспечивала относительную точность расчетов температуры около 0,1 %.

РЕЗУЛЬТАТЫ РАСЧЕТОВ

Расчеты проводились для различных радиусов головки термопары R_m , радиусы проволок r_m определялись из соотношений $r_m / R_m = 0,2$ и $0,75$. Использовались следующие значения теплофизических параметров:

$$\rho_p = 1,6 \text{ [г/см}^3\text{]}, \quad \rho_m = 8 \text{ [г/см}^3\text{]}, \quad C_p = 0,3 \text{ [кал/г} \cdot \text{К]}, \quad C_m = 0,2 \text{ [кал/г} \cdot \text{К]},$$

$$\lambda_p = 0,00072 \text{ [кал/(см} \cdot \text{с} \cdot \text{К)}], \quad \lambda_m = 0,16 \text{ [кал/(см} \cdot \text{с} \cdot \text{К)}],$$

где индекс m относится к материалу термопары, индекс p — к материалу вещества. Температура поверхности пиролиза $T_s = 650 \text{ K}$, начальная температура $T_0 = 300 \text{ K}$.

Расчеты проводились до момента времени, когда поверхность пиролиза касалась головки термопары. Значения геометрических параметров термопары варьировались. Поскольку нет ясности с пространственным распределением структуры контактов металлов в спае, образующих головку термопары и формирующих ее ЭДС, в качестве точки, в которой определяется температура головки термопары, принимался ее геометрический центр. Температура в этой точке определялась осреднением по объему головки термопары V :

$$T_{av} = \iiint_V T(x, y, z, t) dx dy dz / \iiint_V dx dy dz.$$

Относительная погрешность измерения температуры термопарой определялась выражением

$$\delta = \frac{T_\infty - T_{av}}{T_\infty} 100 \%,$$

где $T_\infty = T(0, y_{\max}, z_{\max}, t)$ — температура в точке, лежащей на внешней границе области решения, достаточно далеко удаленной от термопары.

Проводились две серии расчетов. Первая из них — при скорости пиролиза $r_b = 0,1 \text{ см/с}$, вторая — при $r_b = 1 \text{ см/с}$. Результаты расчетов представлены в виде изменения относительной погрешности измерения температуры $\delta(\xi)$ от безразмерного расстояния между поверхностью пиролиза и головкой термопары $\xi = R_m - x_s(t)/\Delta$, где $\Delta = \lambda_p / C_p \rho_p r_b$ — ширина теплового фронта волны пиролиза.

Штриховые линии соответствуют изменению отношения величин теплового потока от поверхности пиролиза в твердое вещество $q = [(-\lambda_p \frac{\partial T}{\partial x})|_{y=0, z=0}^{x=x_s}] / [(-\lambda_p \frac{\partial T}{\partial x})|_{y=y_{\max}, z=z_{\max}}^{x=x_s}]$

в точках на оси симметрии и на внешней границе. Ширина теплового фронта составляла $\Delta = 150 \mu m$ при скорости пиролиза $r_b = 0,1 \text{ см/с}$ и $\Delta = 15 \mu m$ — при $r_b = 1 \text{ см/с}$ соответственно. Поведение величины $\delta(\xi)$ при значении $r_b = 0,1 \text{ см/с}$ показано на рис. 2–5. Видно, что конфигурация расположения проволок, определяемая величиной угла α , оказывает существенное влияние на величину погрешности измерения. При этом наименьшее значение погрешности измерения обеспечивает применение термопары с наименьшим радиусом головки. Наличие максимума на кривых связано с тем, что по мере приближения фронта пиролиза к термопаре увеличивается отток тепла по провололкам в глубину твердого вещества, однако

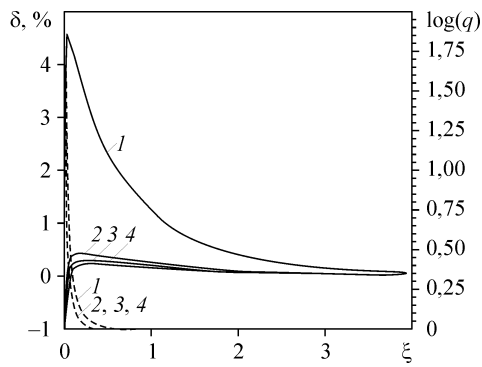


Рис. 2. Изменение $\delta(\xi)$ для $R_m = 12 \mu\text{m}$ ($r_m/R_m = 0,2$).
 $\alpha = 0^\circ$ (1), 15° (2), 45° (3), 60° (4).

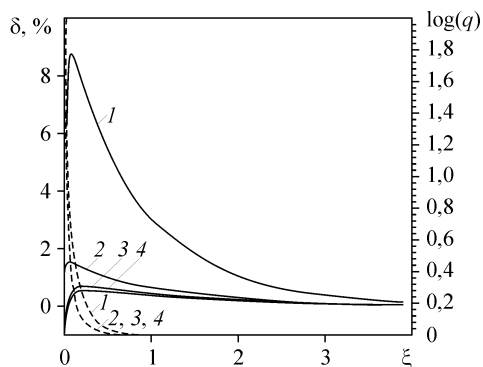


Рис. 3. Изменение $\delta(\xi)$ для $R_m = 20 \mu\text{m}$ ($r_m/R_m = 0,2$).
 $\alpha = 0^\circ$ (1), 15° (2), 45° (3), 60° (4).

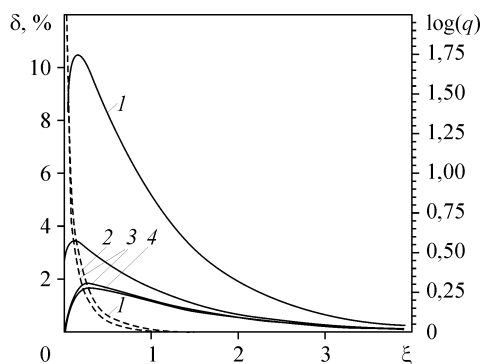


Рис. 3. Изменение $\delta(\xi)$ для $R_m = 20 \mu\text{m}$ ($r_m/R_m = 0,2$).
 $\alpha = 0^\circ$ (1), 15° (2), 45° (3), 60° (4).

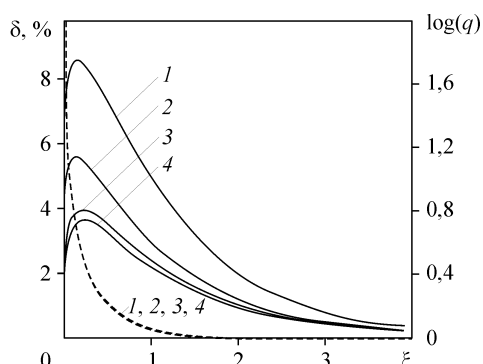


Рис. 5. Изменение $\delta(\xi)$ для $R_m = 120 \mu\text{m}$ ($r_m/R_m = 0,2$).
 $\alpha = 0^\circ$ (1), 15° (2), 45° (3), 60° (4).

затем при малых значениях ξ прогрев головки термопары резко возрастает, что и приводит к уменьшению величины $\delta(\xi)$.

На рис. 6–9 приведены результаты аналогичных расчетов при скорости пиролиза $r_b = 1 \text{ см/с}$. Видно, что по мере увеличения радиуса головки термопары погрешность измерения уменьшается, а при $R_m > 40 \mu\text{m}$ даже становится отрицатель-

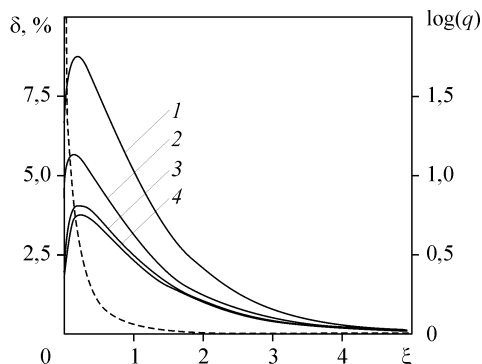


Рис. 6. Изменение $\delta(\xi)$ для $R_m = 12 \mu\text{m}$ ($r_m/R_m = 0,2$).
 $\alpha = 0^\circ$ (1), 15° (2), 45° (3), 60° (4).

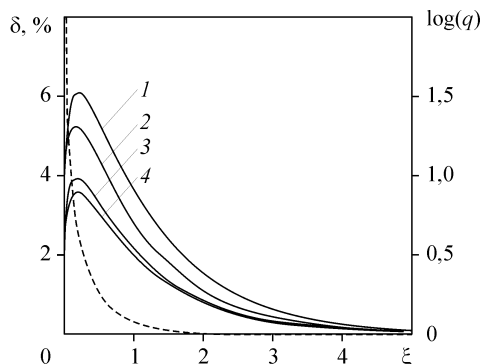


Рис. 7. Изменение $\delta(\xi)$ для $R_m = 20 \mu\text{m}$ ($r_m/R_m = 0,2$).
 $\alpha = 0^\circ$ (1), 15° (2), 45° (3), 60° (4).

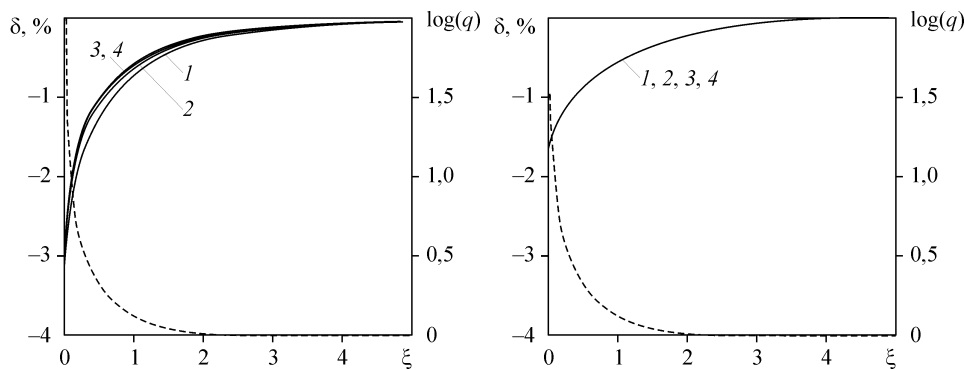


Рис. 8. Изменение $\delta(\xi)$ для $R_m = 45 \mu\text{m}$ ($r_m/R_m = 0,2$).
 $\alpha = 0^\circ$ (1), 15° (2), 45° (3), 60° (4).

Рис. 9. Изменение $\delta(\xi)$ для $R_m = 120 \mu\text{m}$ ($r_m/R_m = 0,2$).
 $\alpha = 0^\circ$ (1), 15° (2), 45° (3), 60° (4).

ной. Это связано с тем, что при больших размерах головки термопары ширина тепловой волны становится меньше диаметра ее головки, которая в этом случае просто не успевает прогреться, что и влияет на поведение величины погрешности.

Совершенно аналогичное поведение величины δ , показанное на рис. 10, имеет место и при малой скорости пиролиза для достаточно больших размеров головки термопары. Для термопар с относительно большими радиусами проволок, у которых отношение $r_m / R_m = 0,75$, погрешность измерения оказывается существенно выше (рис. 11), что связано с увеличением стока тепла в проволоочки из-за увеличения площадей их поперечных сечений.

Полученные результаты свидетельствуют о том, что достоверность информации о распределении температуры в приповерхностном слое твердого вещества, толщина которого сравнима с шириной фронта тепловой волны пиролиза, может быть весьма ненадежной. Далее, теплоотвод в термопару приводит и к значительному возрастанию оттока тепла от поверхности пиролиза при ее приближении к термопаре, что может привести к значительному изменению скорости пиролиза вблизи места расположения головки термопары. Значения величины $q(\alpha)$ в момент подхода поверхности пиролиза к головке термопары для двух скоростей пиролиза приведены в таблице. Видно, что характер поведения этой величины по мере роста угла α существенно зависит от размера головки термопары и от скорости

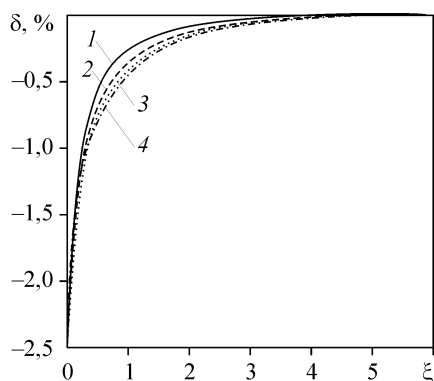


Рис. 10. Изменение $\delta(\xi)$ для $R_m = 400 \mu\text{m}$ ($r_b = 0,1 \text{ см/с}$, ($r_m/R_m = 0,2$)).
 $\alpha = 0^\circ$ (1), 15° (2), 45° (3), 60° (4).

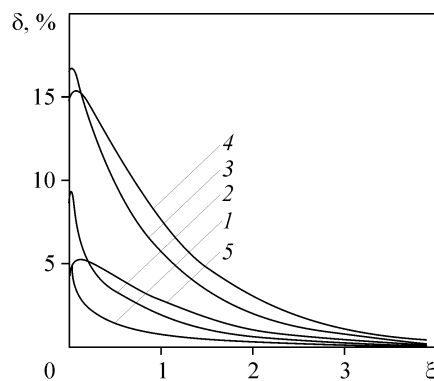


Рис. 11. Изменение $\delta(\xi)$ для $r_m/R_m = 0,75$ ($r_b = 0,1 \text{ см/с}$, $\alpha = 60^\circ$).
 $R_m = 12$ (1), 20 (2), 45 (3), 120 (4), 250 (5) μm .

Таблица

Зависимость величин тепловых потоков от угла α

R_m [μm]	$r_b = 0,1$ [см/с]				$r_b = 1,0$ [см/с]			
	0°	15°	45°	60°	0°	15°	45°	60°
12	53,4	23,8	19,8	19,8	123,8	120,7	131,8	145,3
20	94,4	56,6	44,3	43,9	91,0	105,2	121,7	137,7
45	137,5	110,9	101,8	105,7	59,8	61,5	73,2	84,1
120	128,8	125,8	138,6	153,9	27,4	28,2	33,8	40,0
400	64,2	66,0	77,7	88,4				

пиролиза, определяющих перетоки тела между головкой и проволочками. Это обстоятельство может служить дополнительным источником погрешности измерения температуры термопарой в приповерхностном слое.

ВЫВОДЫ

1. Численное моделирование показало наличие существенной погрешности при измерении температуры с помощью термопары в твердом теле при его пиролизе, причем величина погрешности зависит как от скорости пиролиза, так и от геометрических размеров термопары.

2. Полученные результаты могут быть использованы для корректировки погрешности измерения температуры с помощью термопар при экспериментальных исследованиях пиролиза твердых тел.

СПИСОК ЛИТЕРАТУРЫ

1. Borovkova T.V., Yeliseyev Y.N., Lopukhov I.I. Mathematical modeling of contact thermocouple // Physics of Particles and Nuclei Letters. 2008. Vol. 5, No. 3. P. 274–277.
2. Franco G.A., Caron E., Wells M.A. Quantification of the surface temperature discrepancy caused by surface thermocouples and methods for compensation // Metallurgical and materials transactions B. 2007. Vol. 38B. P. 949–956.
3. Зенин А.А. Об ошибках термопарных измерений пламен // Инженерно-физический журнал. 1962. Т. 5, № 5. С. 67–74.
4. Зенин А.А. О теплообмене термопар в волне горения твердого топлива // ПМТФ. 1963. № 5. С. 125–131.
5. Asay B.W., Son S.F., Dickson P.M., Smilowitz L.B., Henson B.F. An investigation of the dynamic response of thermocouples in inert and reacted condensed phase energetic materials // Propellants, Explosives, Pyrotechnics. 2005. Vol. 30, No. 3. P. 199–208.
6. Рычков А.Д., Гусаченко Л.К., Зарко В.Е. Об оценке погрешности измерения температуры в твердом топливе с помощью термопары // Тр. VI совещ. Рос.-Казах. рабочей группы по вычисл. и информ. технологиям. Алматы: Казак университ. 2009. С. 282–286.
7. Vinokur M. An analysis of finite-difference and finite-volume formulations of conservation laws // J. Comput. Physics. 1989. Vol. 81. P. 1–52.
8. Яненко Н.Н. Метод дробных шагов решения многомерных задач математической физики. Новосибирск. Наука, 1967. 195 с.
9. Liseikin V.D. A computational differential geometry approach to grid generation. Berlin: Springer. 2007 (second edition). 220 p.

Статья поступила в редакцию 29 января 2010 г.